Raasi 1/2019, 43-57.

Analiza antropologică a scheletelor eneolitice din necropola aşezării eponime de la Gumelnița (jud. Călăraşi, România)

Gabriel Vasile

Rezumat. Reluate în anul 2017, cercetările de la Gumelnița (jud. Călăraşi), situl eponim al civilizației eneolitice, s-au concentrat (pe lângă cele din aşezarea *tell* propriu-zisă şi zona din afara acesteia) şi asupra necropolei locuitorilor de pe *Măgura Gumelnița*, până în prezent fiind investigate 10 complexe funerare de inhumație. Materialul scheletic din nouă dintre acestea a fost cercetat în anul 2018 şi reprezintă obiectul prezentului studiu. Forma gropilor este ovală, scheletele fiind orientate, în general, cu capul la est. Indivizii au fost depuşi în poziție chircită, iar din inventarul funerar fac parte piese din lut, mărgele din *Spondylus*, aşchii de silex, sau un vas cu perforație de tip "pudrieră". Din punct de vedere antropologic, au fost identificați 12 indivizi: doi subadulți şi 10 adulți. Sexul a fost determinat în opt cazuri: cinci femei şi trei bărbați. Pentru comparații cu alte loturi scheletice, analiza antropologică a urmărit şi prelevarea unor date metrice, estimarea staturilor scheletice, consemnarea unor patologii dentare şi osoase sau înregistrarea unui set de caractere epigenetice craniene şi postcraniene.
Cuvinte cheie: antropologie fizică, eneolitic, necropolă, inhumație, cultura Gumelnița

Anthropological analysis of the Eneolithic skeletons from the necropolis of the eponymous settlement at Gumelnița (Călăraşi County, Romania). Resumed in 2017, the researches from Gumelnița (Călăraşi County), the eponymous site of the Eneolithic civilization, focused (besides the actual *tell* settlement and off-*tell* area) on the necropolis of the inhabitants of *Măgura Gumelnița*, so far, 10 burial complexes being investigated. The skeletal material in nine of them was investigated in 2018 and is the subject of the present study. The shape of the pits is oval, the skeletons being generally oriented with the head to the east. The individuals were deposited in a crouched position, and the funeral inventory consists in pieces of clay, *Spondylus* beads, flint chips, or a „powder" type vessel with perforation. From the anthropological point of view, 12 individuals were identified: two subadults and 10 adults. Biological sex was determined in eight cases: five females and three males. For comparisons with other skeletal groups, the anthropological analysis followed the sampling of metric data, the estimation of the skeletal statures, the recording of dental and bone pathologies or the investigation of a set of cranial and postcranial epigenetic traits.
Keywords*:* physical anthropology, Eneolithic, necropolis, inhumation, Gumelnița culture

Introducere

În anul 2017 au fost reluate, sub forma unui proiect interdisciplinar complex, cercetările de la Gumelnița (jud. Călărași), situl eponim al civilizației eneolitice (Lazăr *et alii* 2017). Ca dimensiune, *tell*-ul, situat la cca. 4 km nord-est de orașul Oltenița, pe malul stâng al Dunării, reprezintă una dintre cele mai mari așezări eneolitice de la nordul fluviului. Cercetările[1] au vizat trei zone: așezarea propriu-zisă, zona din afara așezării și zona de terasă, unde este situată și necropola atribuită locuitorilor așezării de la *Măgura Gumelnița*.

Necropola de față este amplasată pe terasa înaltă, de la est de *tell*, la cca 350 m. Până în prezent, au fost investigate 10 complexe funerare: unul (M.1) în campania arheologică din anul 2017, căruia i se mai adaugă nouă morminte (M.2-M.10) cercetate în anul 2018 și care au fost analizate în prezentul studiu. Forma gropilor este, în general, ovală, scheletele fiind orientate, preponderent, cu capul la est. Poziția indivizilor este exclusiv fœtală, chircită: în șapte cazuri – în decubit lateral stânga, iar în două cazuri – chirciți pe dreapta. Ca piese de inventar funerar au fost identificate: obiecte din lut, mărgele din *Spondylus*, așchii de silex sau un vas cu perforație de tip „pudrieră" (Lazăr *et alii* 2017).

Material şi metode

Au fost analizate resturile scheletice ce provin din nouă complexe funerare, exclusiv de inhumație, notate de autorii cercetării M.2-M.10. Piesele scheletice fac parte din inventarul Muzeului Municipiului București. Fragmentele osoase și dentare au fost curățate cu apă, fără detergenți, uscate la temperatura camerei, iar acolo unde necesitățile au impus-o, au fost restaurate. Pentru identificarea și stabilirea simetriei resturilor scheletice și în vederea determinării numărului minim de indivizi (NMI) din cadrul fiecărui complex funerar, am utilizat, în principal, caracterele descriptive pe care le întâlnim în literatura osteologică de specialitate (White, Folkens 2005). În vederea evaluării stării de conservare a materialului scheletic, am aplicat un model de analiză (Brickley, McKinley 2004, p. 15-17), care presupune încadrarea resturilor osteologice în grade de eroziune și/sau abraziune. Pentru stabilirea stării de reprezentare a indivizilor, am desemnat un schelet ca fiind aproximativ complet atunci când au fost prezente peste 75% din părțile lui componente; resturile osteologice prezente în limita intervalului 25-75% au definit un schelet

[1] Din punct de vedere metodologic, s-au efectuat o serie de studii interdisciplinare, care cuprind magnetometrie, integrarea GIS a datelor topografice, arheozoologie, malacologie, arheoihtiologie, palinologie, analize carpologice, sedimentologie, sudiul tehnico-tipologic și funcțional al artefactelor, determinarea materiilor prime și studiul compozițional, precum și datări cu radiocarbon. Pentru o imagine mai largă asupra cercetărilor, vezi Lazăr *et alii* 2017.

parțial reprezentat, iar unul slab reprezentat – când nu au fost prezente mai mult de 25% din elemente (Buikstra, Ubelaker 1994, p. 7). Determinarea sexului, alături de estimarea vârstei la deces a defuncților, reprezintă unii dintre cei mai importanți parametri biologici și totodată caracteristici fundamentale în demografie sau în studiile istorice și statistice. În vederea investigării acestora, am utilizat cel mai adesea pelvisul și craniul. Pentru determinarea sexului am înregistrat un set de diferențe morfologice discriminante întâlnite la nivelul coxalului – arcul ventral, concavitatea subpubiană, aspectul medial al ramului ischiopubian, marele șanț sciatic (ȘS) și sulcusul preauricular. La nivelul craniului au fost urmărite: creasta nucală (CN), procesul mastoid (PM), marginea supraorbitală (MS), glabela (G) și eminența mentală (EM) (Buikstra, Ubelaker 1994, p. 16-21). În lipsa acestora, am adoptat o serie de practici sau recomandări pentru diagnoza sexului (Ferembach *et alii* 1980, p. 517-527; Acsádi, Nemeskéri 1970, p. 75-87).

Vârsta biologică, care exprimă îmbătrânirea organismului și care nu trebuie confundată cu cea cronologică, reală, a fost estimată în special pentru indivizii adulți, iar în două cazuri, pentru doi subadulți, prin comparație dimensională cu alte schelete din colecțiile Institutului de Arheologie „Vasile Pârvan" din București. Estimarea vârstei la deces în cadrul indivizilor adulți s-a realizat cu predilecție pe baza craniului (prin înregistrarea gradului de obliterare a suturilor craniene – Meindl, Lovejoy 1985, p. 63) și coxalelor (prin diagnosticarea suprafețelor auriculare – Lovejoy *et alii* 1985). Categoriile de vârstă (Buikstra, Ubelaker 1994, p. 9) utilizate au fost: adult tânăr (20-35 ani), adult matur (35-49 ani) și adult bătrân (peste 50 ani).

Dimorfismul sexual a fost pus în evidență cu ajutorul informațiilor de ordin (bio) metric, după recomandări din literatura antropologică (Martin 1928, p. 625-678; Bräuer 1988, p. 160-192), pentru măsurătorile craniene și normele acelorași autori (Martin 1928, p. 1005-1052, Bräuer 1988, p. 193-232) – pentru cele postcraniene.

Lungimea maximă a unor oase lungi a fost utilizată în estimarea staturii scheletice prin *metoda Pearson* (Rösing 1988, p. 597), exclusiv în cadrul subiecților adulți.

În protocolul nostru, un aspect deosebit de important l-au reprezentat informațiile obținute în legătură cu stilul de viață al populațiilor eneolitice, care a fost redat (și) prin observarea aspectelor patologice osoase și dentare, pentru care am făcut apel la o serie de tratate din literatura de specialitate (Mann, Hunt 2005; Ortner 2003; Aufderheide, Rodriguez-Martin 1998). În completare, au fost făcute investigații osteologice în legătură cu prezența pe oase a unor markeri ai stresului ocupațional sau biomecanic (Myszka, Piontek 2012).

Analiza a avut în vedere și înregistrarea unui set de caractere discrete sau epigenetice, pe care le întâlnim atât la nivelul craniului, cât și în sectorul postcranian (Mann *et alii* 2016; Hauser, De Stefano 1989; Finnegan 1978).

Rezultatele analizei antropologice

1. Gumelnița 2018, SON 9, ❑3, M.2

NMI = 3.

Individul I (I1). *Stare de conservare*: mediocră (grad 3), cu resturi scheletice fragmentare și craniu ce prezintă endocranian o crustă calcaroasă și periost exfoliat, de culoare albicioasă.

Stare de reprezentare: parțial reprezentat.

Categorie de vârstă: *infant*/copil.

Inventar scheletic. Din craniu au fost recuperate două fragmente din frontal, câte unul din parietale (plus opt fragmente, fără simetrie precisă), temporalul stâng (două fragmente, aproximativ complet), patru fragmente din scuama temporală dreaptă și unul din cea occipitală, plus un fragment dintr-unul din ramurile mandibulare. Postcranian, s-au păstrat două fragmente de arcuri vertebrale, câte un fragment din extremitățile radiale și ulnare drepte, 24 fragmente din diafizele femurale și tibiale și două falange proximale de la mâini.

Patologie: periostită (ușoară activitate la nivelul diafizelor femurale și tibiale).

Caractere epigenetice craniene: sutură metopică (fig. 1).

Individul 2 (I2). *Inventar scheletic*. Au fost recuperate opt fragmente osoase, dintre care unul aparține unei diafize peroneale, ce prezintă o crustă calcaroasă.

Categoria de vârstă: adult.

Individul 3 (I3). *Inventar scheletic*. Au fost identificate două fragmente osoase, dintre care unul aparține unei diafize peroneale.

Categoria de vârstă: adult.

2. Gumelnița 2018, SON 9, T 1012, ❑2, M.3 (fig. 2)

NMI = 2.

Individul 1 (I1). *Stare de conservare*: mediocră (grad 3), cu resturi scheletice pe alocuri fragmentare, cu o crustă calcaroasă la nivelul diafizelor femurale și tibială stângă și cu câteva epifize (humerală dreaptă și femurală stângă) aflate într-o stare relativ avansată de degradare.

Stare de reprezentare: parțial reprezentat, restaurat.

Sex: feminin (CN = -1; PM = 0; EM = -1; ȘS = 0).

Vârstă la deces: 34,7 ± 7,8 ani, adult tânăr (sectorul sutural ectocranial: S2 = 3: 1-0-2-0-0-0-0).

Inventar scheletic. Caractere descriptive. Din craniu s-a păstrat, aproximativ completă, calota (largă, cu parietale aplatizate și occipital îngust) (fig. 3). Din scheletul feței a fost recuperat un fragment din sfenoid și hemimandibula dreaptă. Din scheletul postcranian nu s-a păstrat niciun os întreg, singurele fragmente mai complete fiind diafizele oaselor lungi. Lipsesc marea majoritate a vertebrelor și

coastelor, centura scapulară stângă, ulna stângă, ischioanele, pubisurile, patelele și oasele mâinii și piciorului stâng. Ulna dreaptă este eurolenică, femurele stenomere, iar tibiile platicnemice.

Patologie: pierderi dentare *antemortem* (M_1 drept) (fig. 4).

Caractere epigenetice: craniene (foramen parietal drept; foramen mental drept) și postcraniene (al treilea trohanter, bilateral; fațetă articulară medială tibială stângă).

Individul 2 (I2). *Inventar scheletic*. Au fost recuperate 15 fragmente osoase ce aparțin diafizelor femurale și tibiale.

Categoria de vârstă: copil (*infans* I).

Patologie: periostită (ușoară activitate la nivelul diafizelor femurale).

3. Gumelnița 2018, SON 9, M.4

NMI = 1.

Stare de conservare: mediocră (grad 3), cu resturi scheletice fragmentare, cu urme ale unui pigment de culoare roșie observate la nivelul craniului, pe frontal și parietalul stâng (fig. 5) și cu periostul ce prezintă urme de rădăcini (fig. 6).

Stare de reprezentare: parțial reprezentat, restaurat.

Sex: feminin (CN = 0; PM = -1; ȘS = -1; oase gracile, cu epifize mici).

Vârstă la deces: adult tânăr, dar nu mai avansat de 30,5 ani (sectorul sutural ectocranial: S1 = 0: 0-0-0-0-0-0-0; sutură sfenotemporală dreaptă încă deschisă, mobilă, fără urme de obliterare).

Inventar scheletic. Caractere descriptive. Neurocraniul este aproximativ complet, cu parietale bombate. Din viscerocraniu au fost recuperate fragmente din sfenoid, maxila dreaptă și mandibulă. Din scheletul postcranian lipsesc sternul, sectorul costo-vertebral, centura scapulară (cu excepția unui fragment din omoplatul stâng), patelele și cea mai mare parte a bazinului și oaselor de la mâini și de la picioare. În general, au fost recuperate fragmente de la nivelul oaselor lungi, cu excepția peroneului stâng.

Patologie: îngroșare evidentă a oaselor frontal, parietal stâng, precum și a unui fragment femural drept, manifestări posibil asociate cu boala Paget (*osteitis deformans* ?).

Caractere epigenetice craniene: foramen mastoidal, localizat pe temporal.

4. Gumelnița 2018, SON 9, M.5

NMI = 1.

Stare de conservare: mediocră (grad 3), cu resturi scheletice fragmentare și periost pe alocuri exfoliat, de culoare albicioasă, care prezintă urme ale activității rădăcinilor.

Stare de reprezentare: parțial reprezentat, restaurat.

Sex: feminin (ȘS = -2; oase gracile, cu epifize mici).

Categorie de vârstă: adult (oase complet epifizate).

Inventar scheletic. Caractere descriptive. Din craniu au fost recuperate șase fragmente de la nivelul oaselor parietale (două aflate în conexiune anatomică). Din scheletul postcranian s-au păstrat, în general, fragmente de la nivelul oaselor lungi (femurul drept este hiperplatimer, iar tibia dreaptă, euricnemică), cu excepția peroneelor. Lipsesc sectorul costo-vertebral, oasele centurii scapulare (cu excepția unui fragment dintr-un omoplat), cea mai mare parte a bazinului, patelele și majoritatea oaselor de la mâini și de la picioare.

Patologie: periostită (ușoară activitate pe suprafața diafizelor femurale; manifestări mai intense la nivelul diafizelor tibiale, fig. 7).

5. Gumelnița 2018, SON 9, □5–6, M.6 (fig. 8)

NMI = 1.

Stare de conservare: mediocră (grad 2), cu resturi scheletice pe alocuri fragmentare, care prezintă ușoare urme de arsură secundară la nivelul frontalului, parietalelor și ramului orizontal mandibular stâng și urme ale unui pigment de culoare roșie (ocru) observate la nivelul craniului, pe frontal (fig. 9).

Stare de reprezentare: aproximativ complet, restaurat.

Sex: masculin (CN = 0; PM = +1; MS = +2; G = +1; EM = +1; ȘS = +1).

Vârstă la deces: 51,5 ± 12,6 ani, adult bătrân (sectorul sutural ectocranial: S7 = 19: 3-2-3-3-3-3-2):

Statură scheletică: 164,83 ± 4,0 cm (mijlocie).

Inventar scheletic. Caractere descriptive. Din craniu s-a păstrat, aproximativ completă, calota. Este foarte lungă și largă, dolicocrană. Fruntea este mijlocie, îngustă, cu margini ovale, metriometopă și camemetopă. Parietalele sunt aplatizate, iar occipitalul este mijlociu și prezintă pseudoplagiocefalie. Scheletul feței este relativ distrus. Au fost recuperate fragmente din zigomatice, sfenoid, maxile și mandibula dreaptă; orbita stângă este îngustă. Din scheletul postcranian s-au păstrat întregi radiusul stâng, patelele și o serie de oase din scheletul mâinilor și al picioarelor. De asemenea, sunt relativ bine păstrate diafizele oaselor lungi. Individul prezintă numeroase distrugeri și lipsuri la nivelul centurilor și sectorului costo-vertebral. Ulnele sunt eurolenice, femurul stâng, eurimer, iar tibiile, euricnemice.

Patologie: pierderi dentare *antemortem* (M_1-M_2 și M_3? stângi; M_1-M_2 și M_3? drepți, fig. 10); periostită (ușoară, cu exprimări în jumătățile superioare tibiale și în jumătățile inferioare tibiale și peroneale, bilateral, fig. 11).

Caractere epigenetice: craniene (șanț supraorbital, bilateral; foramen zigomatico-facial drept; foramen parietal drept; osicule lambdoide, bilateral; direcție spre dreapta a curburii sulcusului sagital superior; foramen mental stâng) și postcraniene

(fațetă articulară laterală tibială dreaptă; *os acromiale* la nivelul omoplatului stâng, fig. 12-13; fațetă dublă calcaneală anterioară, bilateral).

6. Gumelnița 2018, SON 10, M.7

NMI = 1.

Stare de conservare: mediocră (grad 3), cu resturi scheletice majoritar fragmentare și cu periostul pe alocuri exfoliat, albicios și care păstrează amprente ale activității rădăcinilor din sol.

Stare de reprezentare: parțial reprezentat, restaurat.

Sex: masculin (CN = 0; PM = +1; MS = +2).

Categorie de vârstă: adult tânăr (sectoarele suturale sunt deschise, cu zone care prezintă un grad minimal de sudare; uzura M_1 drept = 4+).

Inventar scheletic. Din craniul neural lipsește o mare parte din parietalul stâng, temporalul stâng și bazioccipitalul, iar din scheletul feței s-au păstrat zigomaticul stâng și fragmente din sfenoid, maxile și mandibulă. Din scheletul postcranian lipsesc sectorul costo-verebral, centura scapulară și cea mai mare parte a bazinului. Oasele lungi sunt fragmentare; lipsesc patelele, peroneele și falangele de la picioare.

Caractere epigenetice craniene: foramen supraorbital, bilateral; foramen zigomatico-facial stâng; direcție spre dreapta a curburii sulcusului sagital superior.

7. Gumelnița 2018, SON 9, □4, M.8

NMI = 1.

Stare de conservare: mediocră (grad 3), cu resturi scheletice fragmentare și cu urme de rădăcini din sol, în special la nivelul diafizelor oaselor lungi.

Stare de reprezentare: aproximativ complet, restaurat.

Sex: masculin (PM = +1; MS = +1; ȘS = +2).

Vârstă la deces: 30,5-32,0 ani, adult tânăr (suprafața auriculară stângă: faza 3; sectorul sutural ectocranial: S7 = 1: 1-0-0-0-0-0-0).

Inventar scheletic. Caractere descriptive. Din craniul neural lipsește temporalul drept; fruntea este foarte îngustă, camemetopă, iar parietalele, bombate. Din scheletul feței a fost recuperat doar un fragment din ramul vertical mandibular stâng. Scheletul postcranian este foarte fragmentar, îndeosebi în sectorul costo-vertebral. S-au păstrat fragmente din centura scapulară stângă, sacrum și ilioane; oasele lungi sunt reprezentate mai ales prin diafize (ulna dreaptă este eurolenică, femurul stâng, platimer, iar tibia stângă, mezocnemică), epifizele fiind destul de degradate. Lipsesc sternul, patelele, oasele mâinilor și cea mai mare parte a celor de la picioare.

Caractere epigenetice: craniene (foramen supraorbital stâng; foramen mastoidal, localizat pe temporal) și postcraniene (fosă hipotrohanterică, bilateral; fațete sacrale accesorii stângi).

8. Gumelnița 2018, SON 12, M.9

NMI = 1.

Stare de conservare: mediocră (grad 3), cu resturi scheletice pe alocuri fragmentare și cu periostul exfoliat, albicios.

Stare de reprezentare: parțial reprezentat, restaurat.

Sex: feminin (ȘS = -1; oase gracile, cu epifize de dimensiuni mici).

Categorie de vârstă: adult (oase complet epifizate).

Statură scheletică: 149,0 ± 3,8 cm (submijlocie).

Inventar scheletic. Caractere descriptive. Lipsește craniul neural, iar din scheletul feței s-a păstrat doar maxila dreaptă. Din scheletul postcranian au fost recuperate câteva fragmente de coaste, o parte din sectorul vertebral lombar, coxalele (fără pubisuri), fragmente din extremitățile humerale drepte, oasele antebrațului (radiusul drept este complet, iar ulna dreaptă, platolenică), femurele (aproximativ complete, eurimer pe stânga și platimer pe dreapta), patela dreaptă, tibiile (cea stângă, completă, euricnemică) și o serie de oase din scheletul mâinilor și, în special, al picioarelor.

Patologie: periostită (ușoară activitate la nivelul diafizei tibiale stângi, lateral).

Caractere epigenetice postcraniene: fațetă articulară laterală tibială stângă.

9. Gumelnița 2018, SON 11, M.10 (fig. 14)

NMI = 1.

Stare de conservare: mediocră (grad 2), cu resturi scheletice fragmentare și cu diafizele oaselor lungi, în general, distruse.

Stare de reprezentare: parțial reprezentat, restaurat.

Sex: feminin (CN = -1; PM = -1; MS = -1; EM = -1).

Vârstă la deces: 48,8 ± 10,5 ani, adult matur (sectorul sutural ectocranial: S6 = 17: 3-1-3-3-3-3-3).

Inventar scheletic. Caractere descriptive. A fost recuperată cea mai mare parte a calotei craniene (întreg craniul are o lungime mijlocie, fruntea este mijlocie, iar parietalele, bombate), iar din craniul visceral s-au păstrat fragmente din oasele zigomatice, maxile și mandibulă. Din scheletul postcranian au fost recuperate câteva fragmente costale, sectorul vertebral cervical, centura scapulară și fragmente din humerusul și ulna stângă, radiusul și ilionul drept, femurul stâng, patela dreaptă, tibia dreaptă și peroneul stâng. De asemenea, individul prezintă și câteva oase de la mâini și de la picioare.

Patologie: carii dentare (M_1-M_3 stângi); pierderi *antemortem* (M_1-M_3 drepți) și osteoartroză (suprafețe poroase cu contur neregulat la nivelul fațetei articulare acromiale stângi).

Caractere epigenetice: craniene (foramen parietal, bilateral; foramen mental, bilateral) și postcraniene (fațetă articulară acromială stângă, fig. 15; șanț mușchi

vastus lateralis drept; fosă mușchi *vastus lateralis* drept, fig. 16; suprafață articulară talară inferioară dreaptă).

Câteva discuții şi concluzii

În cele nouă complexe, au fost identificate resturi scheletice ce provin de la 12 indivizi. Menționăm că numărul minim de indivizi nu reprezintă expresia unor înmormântări duble/multiple, ci denotă activități tafonomice post-depoziționale, care au legătură cu bioturbațiile produse de rădăcinile plantelor sau de către animale. În acest fel, oasele sunt antrenate *in situ* și își modifică poziția inițială, așa cum este cazul a două dintre complexele funerare analizate (M.2 cu NMI = 3 și M.3 cu NMI = 2).

Starea de conservare a resturilor scheletice (evaluată doar pentru defuncții ce provin *de facto* din cele nouă complexe funerare și care sunt mai bine reprezentați) este, în general, mediocră (șapte indivizi) sau bună (doi subiecți). Dintre markerii tafonomici identificați pe suprafața oaselor amintim: crustă calcaroasă, periost exfoliat, periost de culoare albicioasă, urme ale unui pigment de culoare roșie (ocru), periost ce prezintă amprente ale rădăcinilor plantelor sau urme de arsură secundară.

Sexul indivizilor a putut fi determinat în opt cazuri: cinci indivizi de sex feminin și trei de sex masculin.

În urma estimării vârstei la deces, au fost identificate următoarele clase de vârstă: *infant*/copil (un individ), copil (un individ), adult tânăr (patru indivizi), adult matur (un individ), adult bătrân (un individ) și adult (patru indivizi).

Statura scheletică a fost calculată doar în cazul a doi indivizi: o femeie (149,03 cm, categoria submijlocie) și un bărbat (164,83 cm, categoria mijlocie).

Din punct de vedere patologic, am identificat o serie de boli dentare și osoase. Din prima categorie amintim pierderile dentare *antemortem* (la trei indivizi) și cariile dentare (la un individ). Dintre bolile osoase, cea mai frecvent observată a fost periostita (la cinci indivizi: doi subadulți și trei adulți), iar într-un singur caz, au fost constatate manifestări ale osteoatrozei. Periostita este privită, în general, ca fiind un indicator osteologic al unor boli infecțioase sau traumatice, dar poate să apară și ca urmare a unui dezechilibru nutrițional (DeWitte 2014, p. 38). De asemenea, poate reprezenta o boală în sine sau poate constitui rezultatul unor boli specifice (Ortner 2003, p. 208). La individul din M.4, o femeie de cel mult 30 de ani, au fost identificate posibile manifestări ale bolii Paget, afecțiune a sistemului osos cunoscută și sub denumirea de *osteitis deformans* – maladie cu substrat metabolic și endocrin, caracterizată prin fenomene de resorbție osoasă (litice), simultan cu procese de formare de țesut osos nou (sclerotice) (Aufderheide, Rodriguez-Martin 1998, p. 413). Dintre markerii bolii identificați menționăm hiperostoza oaselor frontal și parietal stâng și îngroșarea unei părți a femurului drept. Cu toate acestea,

rămânem rezervați în privința diagnosticului, din cauza absenței deformărilor (arcuirilor) osoase, care, chiar dacă ar exista, nu pot fi observate din pricina gradului ridicat de fragmentaritate al oaselor lungi ale individului.

Deși lotul scheletic este unul destul de redus numeric, în cadrul analizei antropologice au fost prelevate și o serie de măsurători (vezi tab. 1 și tab. 2), deosebit de utile în ceea ce privește dimorfismul sexual, precum și morfologia și variabilitatea indivizilor din perioada eneolitică.

Pentru viitoare comparații cu alte loturi scheletice (sincrone sau din alte perioade preistorice sau istorice) a fost înregistrat și un set de caractere epigenetice, în vederea stabilirii biodistanțelor inter- și intrapopulaționale.

De asemenea, stilul de viață al comunităților eneolitice de pe *Măgura Gumelnița* este reflectat și prin prezența unor markeri ai stresului ocupațional, însă interpretarea acestora sub raport statistic este prematură.

Număr Martin		**M.3 (I1)**	**M.4**	**M.6**	**M.7**	**M.8**	**M.10**
1.	*G-Op* (mm)			196,5			174,7
8.	*Eu-Eu* (mm)	151,0		141,6			
I1.	(8 / 1) x 100			72,1			
9.	*Ft-Ft* (mm)			97,1	100,6		
10.	*Co-Co* (mm)			114,0	111,9	107,5	119,2
I12.	(9 / 10) x 100			85,1	89,9		
I13.	(9 / 8) x 100			68,5			
26.	Arc *N-B* (mm)			124,0		126,0	
29.	Coardă *N-B* (mm)			112,9		120,4	
I22.	(29 / 26) x 100			91,1		95,5	
27.	Arc *B-L* (mm)	126,0	130,0	111,0	124,0	133,0	126,0
30.	Coardă *B-L* (mm)	116,4	114,1	109,3	116,4	114,7	109,1
I24.	(30 / 27) x 100	92,4	87,8	98,5	93,8	86,2	86,6
12.	*Ast-Ast* (mm)	99,2		109,6	94,5		100,8
I14.	(12 / 8) x 100	65,7		77,4			
51(s).	*Mf-Ek* (mm)			37,8			

Tab. 1. Dimensiuni și indici cranieni
Tabl. 1. Absolute and relative dimensions of the skull

Număr Martin	**M.3 (I1)**	**M.5**	**M.6**	**M.8**	**M.9**	**M.10**
R1(s)			248,2			
R1(d)					207,7	
U13(s)			18,3			
U13(d)	17,6		20,0	20,1	16,0	
U14(s)			20,6			

Număr Martin	M.3 (I1)	M.5	M.6	M.8	M.9	M.10
U14(d)	21,5		21,5	21,5	20,2	
[U13(s) / U14(s)] x 100			85,1			
[U13(d) / U14(d)] x 100	81,7		93,2	93,7	79,1	
F9(s)	28,8		30,6	33,6	28,7	
F9(d)	30,5	30,2			31,5	
F10(s)	30,2		28,9	27,2	24,6	
F10(d)	33,6	22,3			26,6	
[F10(s) / F9(s)] x 100	104,9		94,3	80,8	85,9	
[F10(d) / F9(d)] x 100	110,3	73,7			84,3	
P2(s)			44,4			
P2(d)			47,8		38,3	45,5
T1a(s)					318,9	
T1b(s)					311,8	
T8(s)					25,0	
T8a(s)	32,2		33,9	37,0	28,5	
T8a(d)	31,3	29,0	33,7			
T9a(s)	18,2		24,1	25,3	22,4	
T9a(d)	19,3	21,7	23,7			
[T9a(s) / T8a(s)] x 100	56,4		71,1	68,2	78,4	
[T9a(d) / T8a(d)] x 100	61,7	74,8	70,2			

Tab. 2. Dimensiuni și indici postcranieni
Tabl. 2. Absolute and relative dimensions of the postcranial elements

Mulțumiri

Dorim să îi mulțumim dlui Dr. Cătălin Lazăr (Platforma ArchaeoScience#RO, Institutul de Cercetări al Universității din București) pentru informațiile oferite și documentația arheologică inedită pe care ne-a pus-o la dispoziție. Ne exprimăm recunoștința față de dl Cătălin Nicolae (Institutul de Arheologie "Vasile Pârvan", București), pentru ajutorul necondiționat oferit la efectuarea fotografiilor.

* Cercetarea s-a desfășurat în cadrul proiectului *Platformă pluridisciplinară complexă de cercetare integrativă și sistematică a identităților și patrimoniului cultural tangibil și non-tangibil din România* (PATCULT#RO) – cod PN-III-P1-1.2-PCCDI-2017-0686, finanțat de către UEFISCDI.

Bibliografie

Acsádi, Nemeskéri 1970: G. Acsádi, J. Nemeskéri, *History of human life span and mortality*, Académiai Kiadó, Budapest, 1970.

Aufderheide, Rodriguez-Martin 1998: A. C. Aufderheide, C. Rodriguez-Martin, *The Cambridge encyclopedia of human paleopathology*, Cambridge, 1998.

Bräuer 1988: G. Bräuer, *Osteometrie*, în: R. Knußmann, I. Schwidetzky, H. W. Jürgens, G. Ziegelmayer (eds.), *Anthropologie, Handbuch der vergleichenden Biologie des Menschen*, zugleich 4, Auflage der Lehrbuchs der Anthropologie, begründet von Rudolf Martin, Sonderdruck, Band I/1: Wesen und Methoden der Anthropologie, Stuttgart, 1988, p. 160-232.

Brickley, McKinley 2004: M. Brickley, J. I. McKinley (eds.), *Guidelines to the standards for recording human remains*, IFA Paper, No. 7, British Association for Biological Anthropology and Osteoarchaeology, Southampton, Hampshire, 2004.

Buikstra, Ubelaker 1994: J. E. Buikstra, D. H. Ubelaker (eds.), *Standards for data collection from human skeletal remains*, Arkansas Archaeological Survey Research, Series No. 44, Fayetteville, Arkansas, 1994.

DeWitte 2014: S. N. DeWitte, *Differential survival among individuals with active and healed periosteal new bone formation*, International Journal of Paleopathology 7, 2014, p. 38-44.

Ferembach *et alii* **1980:** D. Ferembach, I. Schwidetsky, M. Stloukal, *Recommendations for age and sex diagnoses of skeletons*, Workshop of European Anthropologists, Journal of Human Evolution 9, 7, 1980, p. 517-549.

Finnegan 1978: M. Finnegan, *Non-metric variation of the infracranial skeleton*, Journal of Anatomy 125, 1, 1978, p. 23-37.

Hauser, De Stefano 1989: G. Hauser, G. F. De Stefano, *Epigenetic variants of the human skull*, E. Schweizerbart'sche Verlagsbuchhandlung, Stuttgart, 1989, p. 301.

Lazăr *et alii* **2017:** C. Lazăr, A. Bălăşescu, I. Crăciunescu, C. Covătaru, M. Danu, A. Darie, M. Dimache, O. Frujină, M. Golea, C. Haită, T. Ignat, B. Manea, M. Mărgărit, V. Opriş, V. Radu, T. Sava, G. Sava, D. Ştefan, G. Vasile, *Gumelniţa: then and now. The research results of the 2017 fieldwork*, Studii de Preistorie 14, 2017, p. 119-174.

Lovejoy *et alii* **1985:** C. O. Lovejoy, R. S. Meindl, T. R. Pryzbeck, R. P. Mensforth, *Chronological metamorphosis of the auricular surface of the ilium: a new method for the determination of adult skeletal age at death*, American Journal of Physical Anthropology 68, 1, 1985, p. 15-28.

Mann, Hunt 2005: R. W. Mann, D. R. Hunt, *Photographic regional atlas of bone disease. A guide to pathologic and normal variation in the human skeleton*, Springfield, Illinois, 2005.

Mann *et alii* **2016:** R. W. Mann, D. R. Hunt, S. Lozanoff, *Photographic regional atlas of non-metric traits and anatomical variants in the human skeleton*, Springfield, Illionois, 2016.

Martin 1928: R. Martin, *Lehrbuch der Anthropologie in systematischer darstellung mit besonderer berücksichtigung der anthropologischen methoden; für studierende, ärzte und forschungsreisende*, Zweite vermehrte auflage, Zweite band: Kraniologie, osteologie, Jena, 1928.

Meindl, Lovejoy 1985: R. S. Meindl, C. O. Lovejoy, *Ectocranial suture closure: a revised method for the determination of skeletal age at death based on the lateral-anterior sutures*, American Journal of Physical Anthropology 68, 1, 1985, p. 57-66.

Myszka, Piontek 2012: A. Myszka, J. Piontek., *Variation of musculoskeletal stress markers in the medieval population from Cedynia (Poland) – proposal of standardized scoring method application*, Collegium Antropologicum 36, 3, 2012, p. 1009-1017.

Ortner 2003: D. J. Ortner, *Identification of pathological conditions in human skeletal remains*, 2nd edition, San Diego, California, 2003.

Rösing 1988: F. W. Rösing, *Körperhöhenrekonstruktion aus skelettmaßen*, în: R. Knußmann, I. Schwidetzky, H. W. Jürgens, G. Ziegelmayer (eds.), *Anthropologie, Handbuch der vergleichenden Biologie des Menschen*, zugleich 4, Auflage der Lehrbuchs der Anthropologie, begründet von Rudolf Martin, Sonderdruck, Band I/1: Wesen und Methoden der Anthropologie, Stuttgart, 1988, p. 586-599.

White, Folkens 2005: T. D. White, P. A. Folkens, *The human bone manual*, Burlington, Massachusetts, 2005.



Fig. 1. Sutură metopică completă (*infant*/copil)
Fig. 1. Complete metopic suture (*infant*/child)



Fig. 2. Mormântul nr. 3, *in situ*
Fig. 2. Grave no. 3, *in situ*



Fig. 3. Craniu, vedere superioară (femeie, adult tânăr)
Fig. 3. Skull, superior view (female, young adult)



Fig. 4. Pierderea dentară antemortem a M1 drept (femeie, adult tânăr)
Fig. 4. Antemortem tooth loss of M1 right (female, young adult)



Fig. 5. Pigment de culoare roșie (ocru), vizibil pe frontalul stâng (femeie, adult tânăr)
Fig. 5. Red pigment (ochre), visible on the left front (female, young adult)



Fig. 6. Activitatea rădăcinilor la nivelul capului femural stâng (femeie, adult tânăr)
Fig. 6. Root activity in the left femoral head (female, young adult)



Fig. 7. Periostită activă difuză la nivelul diafizelor tibiale (femeie, adult)
Fig. 7. Diffuse active periostitis on the tibial diaphysis (female, adult)



Fig. 8. Mormântul nr. 6, *in situ*
Fig. 8. Grave no. 6, *in situ*

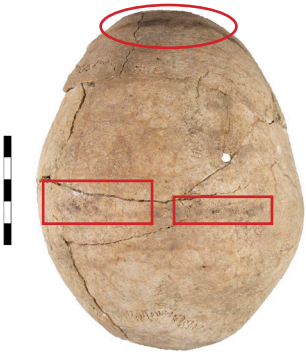


Fig. 9. Amprente ale unui pigment de culoare roșie pe frontal (oval) și urme de arsură secundară pe parietale (pătrat) (bărbat, adult bătrân)
Fig. 9. Fingerprints of a red pigment on the frontal (oval) and traces of secondary burns on the parietals (square) (male, old adult)



Fig. 10. Pierderea dentară *antemortem* a M_1-M_2 (și M_3?), bilateral (bărbat, adult bătrân)
Fig. 10. *Antemortem* tooth loss of M_1-M_2 (and M_3?), bilaterally (male, old adult)



Fig. 11. Periostită activă difuză în treimea superioară tibială dreaptă (bărbat, adult bătrân)
Fig. 11. Active diffuse periostitis in the upper right tibial third (male, old adult)



Fig. 12. Os acromiale, solitar
Fig. 12. Os acromiale, solitary



Fig. 13. Proces acromial drept nefuzionat (bărbat, adult bătrân)
Fig. 13. Unfused right acromial process (male, old adult)



Fig. 14. Mormântul nr. 6, *in situ*
Fig. 14. Grave no. 10, *in situ*



Fig. 15. Fațetă articulară acromială stângă (femeie, adult matur)
Fig. 15. Left acromial articular facet (female, mature adult)



Fig. 16. Șanț și fosă tendon *vastus lateralis* drept (femeie, adult matur)
Fig. 16. The right *vastus lateralis* tendon notch and fossa (female, mature adult)